

## ANALIZA SPOSOBÓW MODELOWANIA KRZYWIZNY – KRZYWE BEZIER A METODA ANALITYCZNA<sup>1</sup>

Władysław Koc

prof. dr hab. inż., Politechnika Gdańska, 80-233  
Gdańsk, ul. Narutowicza 11/12, tel. +48 58 347 1026,  
e-mail: kocwl@pg.gda.pl

Katarzyna Palikowska

dr inż., Politechnika Gdańska, 80-233 Gdańsk, ul. Na-  
rutowicza 11/12, tel. +48 58 348 6090, e-mail: katpa-  
lik@pg.gda.pl

**Streszczenie.** *W artykule przedstawiono analizę sposobów modelowania krzywizny krzywej przejścia łączącej dwa łuki kołowe o zgodnym przebiegu, z których jeden położony jest wewnątrz drugiego. Opisane w literaturze krzywe Bezier {2, 4} porównano z krzywymi typu  $K^0$  i  $K^1$  uzyskanymi na drodze analitycznej przy zastosowaniu uniwersalnej metody modelowania krzywizny. Oceną objęto właściwości dynamiczne porównywanych krzywych przejścia oraz możliwości zastosowania w przykładowych układach geometrycznych toru kolejowego.*

**Słowa kluczowe:** *tor kolejowy, układ geometryczny, krzywe Bezier, projektowanie, wspomaganie komputerowe*

### 1. Wstęp

Projektowanie układu geometrycznego toru kolejowego polega na łączeniu ze sobą określonych punktów charakterystycznych trasy za pomocą odcinków prostych oraz łuków o stałej i zmiennej krzywiznie. W miejscach połączeń, na skutek zmian krzywizny poziomej, dochodzi do zwiększenia oddziaływań dynamicznych występujących w układzie tor-pojazd. W procesie modelowania krzywizny projektant dąży do zapewnienia płynnej zmiany krzywizny przy spełnieniu odpowiednich warunków [5], by poprzez właściwe ukształtowanie krzywych przejścia zapewnić możliwie najkorzystniejsze właściwości dynamiczne układu.

Poszukiwanie nowych postaci krzywych przejścia i ocena istniejących są tematami wciąż aktualnymi, czego dowodem są liczne publikacje poświęcone tym zagadnieniom. W ostatnich latach w szeregu publikacji dotyczących krzywych Bezier [1, 2, 3, 4] autorzy przedstawiają nowe sposoby konstruowania tych krzywych oraz sugerują możliwość zastosowania tego rodzaju krzywych w dziedzinie projektowania dróg kołowych i kolejowych. W pracy [7] przedstawiono pozytywną ocenę możliwości zastosowania krzywych Bezier [2, 3] jako krzywych przejścia łączących dwa łuki kołowe odwrotne (*S-shaped transition*) i dwa łuki zgodne (*C-shaped transition*).

<sup>1</sup> Wkład autorów w publikację: Koc W. 50%, Palikowska K. 50%

Ocena możliwości zastosowania krzywych Bezier w projektowaniu dróg kolejowych została dokonana na podstawie analizy oddziaływań dynamicznych w układzie tor-pojazd oraz sprawdzenia, czy spełnione zostały warunki stawiane układom geometrycznym toru [5]. Jako element porównawczy wykorzystano krzywe typu  $K^0$  i  $K^1$  uzyskane na drodze analitycznej przy zastosowaniu uniwersalnej metody modelowania krzywizny.

Niniejszy artykuł skupia się na porównaniu krzywych typu  $K^0$  i  $K^1$  z kubicznymi krzywymi C-Bezier (*cubic C-Bezier curve*) [2] oraz PH krzywymi Bezier piątego stopnia (*Pythagorean hodograph quintic Bezier curve*) [4], wykorzystanych jako krzywe przejścia łączące dwa łuki kołowe zgodne, z których jeden łuk leży wewnątrz drugiego (*C-oval transition*). Przypadek ten różni się zasadniczo od przypadku łączenia dwóch oddalonych łuków zgodnych (*C-shaped transition*), w którym warunek monotoniczności krzywizny nie jest spełniony i dąży się do uzyskania rozwiązań zapewniających pojedyncze ekstremum krzywizny.

Zastosowany model oraz sposób oceny oddziaływań dynamicznych został przedstawiony w pracach [6, 10]. Zasadniczym elementem analizy oddziaływań dynamicznych jest wyznaczenie wielkości drgań  $X(t)$  oraz wypadkowego przyspieszenia w ruchu drgającym  $X''(t)$  w rejonach, w których występują zmiany poziomej krzywizny toru. W pracy [10] przedstawiono opis metody numerycznej stosowanej do wyznaczenia wielkości drgań  $X(t)$  przy założeniu, że czynnikiem wymuszającym drgania poprzeczne pojazdu szynowego są zmiany krzywizny poziomej toru.

## 2. Uniwersalna metoda modelowania krzywizny

### 2.1. Założenia ogólne

Połączenie elementów trasy kolejowej o zróżnicowanej krzywiznie powinno zapewniać ciągłą zmianę niezrównoważonego przyspieszenia bocznego, w sposób korzystny dla dynamiki oddziaływań w układzie droga – pojazd. Wiąże się to ściśle z właściwym sposobem modelowania krzywizny. Uogólniając metodę identyfikacji przyspieszeń niezrównoważonych występujących na różnych rodzajach krzywych przejściowych [9], możemy poszukiwać funkcji krzywizny  $k(l)$  wśród rozwiązań równania różniczkowego

$$k^{(m)}(l) = f[l, k, k', \dots, k^{(m-1)}] \quad (1)$$

z warunkami na początku (dla  $l = 0$ ) i na końcu (dla  $l = l_k$ ) krzywej przejścia:

$$k^{(i)}(0^+) = \begin{cases} k_1 & \text{dla } i = 0 \\ 0 & \text{dla } i = 1, 2, \dots, n_1 \end{cases} \quad (2)$$

$$k^{(j)}(l_k^-) = \begin{cases} k_2 & \text{dla } j = 0 \\ 0 & \text{dla } j = 1, 2, \dots, n_2 \end{cases} \quad (3)$$

przy czym parametrem  $l$  jest położenie danego punktu na długości krzywej. Rząd równania różniczkowego (1) wynosi  $m = n_1 + n_2 + 2$ , a otrzymana funkcja  $k(l)$  jest funkcją klasy  $C^n$  w przedziale  $\langle 0, l_k \rangle$ , gdzie  $n = \min(n_1, n_2)$ .

Zastosowanie przedstawionej metody stwarza możliwość łączenia różnorodnych elementów geometrycznych, np. prostej z łukiem kołowym czy też dwóch łuków kołowych o przebiegu zgodnym lub odwrotnym. Metoda ta pozwala na generowanie rozwiązań o liniowej lub nieliniowej zmianie krzywizny.

Po wyznaczeniu krzywizny  $k(l)$  zadaniem podstawowym staje się określenie współrzędnych krzywej w układzie  $x, y$ . Zakładamy, że początek tego układu znajduje się w punkcie końcowym krzywej wejściowej o krzywiznie  $k_j$ , a oś odciętych jest styczna do tej krzywej w tymże punkcie. Równanie szukanego połączenia możemy zapisać w postaci parametrycznej:

$$x(l) = \int \cos \theta(l) dl \quad (4)$$

$$y(l) = \int \sin \theta(l) dl \quad (5)$$

Funkcję określamy na podstawie wzoru

$$\theta(l) = \int k(l) dl \quad (6)$$

## 2.2. Przypadek liniowej zmiany krzywizny (krzywa typu $K^0$ )

Jak powszechnie wiadomo, liniowa zmiana krzywizny występuje na krzywej przejściowej zwanej klotoidą, łączącą prostą ( $k_1 = 0$ ) z łukiem kołowym ( $k_2 = \frac{1}{R}$ ). Spróbujmy teraz ten przypadek uogólnić. Liniową zmianę krzywizny na określonej długości  $l_k$  uzyskuje się przez przyjęcie dwóch elementarnych warunków:

$$\begin{cases} k(0^+) = k_1 \\ k(l_k^-) = k_2 \end{cases} \quad (7)$$

oraz równania różniczkowego rzędu drugiego dającego rozwiązanie wielomianowe

$$k''(l) = 0 \quad (8)$$

Po wyznaczeniu stałych rozwiązanie problemu różniczkowego (9), (10) jest następujące:

$$k(l) = k_1 + \frac{1}{l_k}(k_2 - k_1)l \quad (9)$$

Ponieważ otrzymane rozwiązanie stanowi funkcja klasy  $C^0$ , zaliczymy je do kategorii określonej przez nas jako krzywe typu  $K^0$ . Wyznaczenie funkcji  $\theta(l)$

$$\theta(l) = k_1 l + \frac{1}{2 l_k}(k_2 - k_1)l^2 \quad (10)$$

umożliwia określenie współrzędnych  $x(l)$  i  $y(l)$  za pomocą wzorów (4) i (5) i rozwinięciu funkcji podcałkowych w szereg Maclaurina [8] (w przypadku łączenia krzywizn odwrotnych również w szereg Taylora [8]).

### 2.3. Przypadek nieliniowej zmiany krzywizny (krzywa typu $K^1$ )

O ile przedstawione w punkcie 2.2 rozwiązanie dla liniowej zmiany krzywizny ma charakter jednoznaczny, to rozwiązań nieliniowych można uzyskać wiele, przyjmując różne warunki brzegowe oraz postaci równań różniczkowych. Spróbujmy zająć się teraz przypadkiem, który w odniesieniu do klasycznych krzywych przejściowych, łączących prostą z łukiem kołowym, identyfikuje krzywą Blossa [5].

Przyjmijmy warunki brzegowe

$$\begin{cases} k(0^+) = k_1 & k(l_k^-) = k_2 \\ k'(0^+) = 0 & k'(l_k^-) = 0 \end{cases} \quad (11)$$

oraz następujące równie różniczkowe:

$$k^{(4)}(l) = 0 \quad (12)$$

Po rozwiązaniu problemu różniczkowego (11), (12) otrzymujemy następujący wzór na krzywiznę  $k(l)$ :

$$k(l) = k_1 + \frac{3}{l_k^2}(k_2 - k_1)l^2 - \frac{2}{l_k^3}(k_2 - k_1)l^3 \quad (13)$$

Uzyskane rozwiązanie, będące funkcją klasy  $C^1$ , kwalifikuje się do kategorii określonej, jako krzywe typu  $K^1$ . Postać funkcji  $\theta(l)$  jest następująca:

$$\theta(l) = k_1 l + \frac{1}{l_k^2}(k_2 - k_1)l^3 - \frac{1}{2 l_k^3}(k_2 - k_1)l^4 \quad (14)$$

Tak jak w przypadku liniowej zmiany krzywizny, określenie współrzędnych  $x(l)$  i  $y(l)$  za pomocą wzorów (4) i (5) wymaga rozwinięcia funkcji podcałkowych w szereg Maclaurina i ewentualnie Taylora [8].

### 3. Krzywe Bezier

Spośród omawianych w literaturze krzywych Bezier [1, 2, 3, 4] analizie poddano kubiczne krzywe C-Bezier (*cubic C-Bezier curves*) [2] i PH krzywe Bezier piątego stopnia (*Pythagorean hodograph quintic Bezier curves*) [4].

#### 3.1. Kubiczne krzywe C-Bezier

Kubiczna krzywa C-Bezier opisana jest następującym równaniem parametrycznym:

$$P(t) = \frac{2}{\pi-2} \begin{bmatrix} \sin t \\ \cos t \\ t \\ 1 \end{bmatrix}^T \begin{bmatrix} 0 & \frac{2-\pi}{4-\pi} & \frac{2}{4-\pi} & -1 \\ -1 & \frac{2}{4-\pi} & \frac{2-\pi}{4-\pi} & 0 \\ -1 & \frac{2}{4-\pi} & \frac{-2}{4-\pi} & 1 \\ \frac{\pi}{2} & \frac{-2}{4-\pi} & \frac{\pi-2}{4-\pi} & 0 \end{bmatrix} \begin{pmatrix} P_0 \\ P_1 \\ P_2 \\ P_3 \end{pmatrix} \quad (15)$$

zdefiniowanym dla parametru  $t$  spełniającego zależność  $0 \leq t \leq \frac{\pi}{2}$ . Spośród punktów kontrolnych  $\{P_i\}_{i=0}^3$  punkty  $P_0$  i  $P_3$  będące węzłami krzywej Bezier stanowią punkty styczności krzywej z łukiem odpowiednio większym i mniejszym.

Pierwsza pochodna krzywej (15) wyrażona jest następującą formułą:

$$P'(t) = \frac{2}{\pi-2} [(1 - \sin t)(P_1 - P_0) + (1 - \cos t)(P_3 - P_2)] + \frac{2}{4-\pi} (\cos t + \sin t - 1)(P_2 - P_1) \quad (16)$$

Druga pochodna krzywej (15) przedstawia się następująco:

$$P''(t) = \frac{2}{\pi-2} \left[ \left( \frac{\pi-2}{4-\pi} (P_2 - P_1) - (P_1 - P_0) \right) \cos t + \left( P_3 - P_2 - \frac{\pi-2}{4-\pi} (P_2 - P_1) \sin t \right) \right] \quad (17)$$

W pracy [2] podano algorytm wyznaczania punktów kontrolnych  $\{P_i\}_{i=0}^3$  z uwzględnieniem parametrów geometrycznych układu oraz parametru kształtu  $m$ . Na szczególne podkreślenie zasługuje fakt dokładnego uwzględnienia położenia środków łuków i zaprojektowanie krzywej przejścia niewymagającej zmiany położenia tychże łuków.

#### 3.2. PH krzywe Bezier piątego stopnia

W pracy [4] przedstawiono zastosowanie krzywej Bezier piątego stopnia (*Pythagorean hodograph quintic Bezier curve*) opisanej formułą:

$$P(t) (= x(t), y(t)) = \sum_{i=0}^5 \binom{5}{i} P_i (1-t)^{5-i} t^i \quad (18)$$

zdefiniowanej dla parametru  $t$ , spełniającego zależność  $0 \leq t \leq 1$ .

Spośród punktów kontrolnych  $\{P_i\}_{i=1}^5$  punkty  $P_0$  i  $P_5$  styczności krzywej z łukiem odpowiednio większym i mniejszym stanowią węzły krzywej Bezier.

Zastosowana krzywa spełnia warunek stawiany Pitagorejskim hodografom (*Pythagorean hodograph*), polegający na możliwości przedstawienia wyrażenia  $x'(t)^2 + y'(t)^2$  jako wielomianu kwadratowego zmiennej  $t$ . Pochodna krzywej wyrażona jest następującą formułą:

$$P'(t) = (x'(t), y'(t)) = (u^2(t) - v^2(t), 2u(t)v(t)), 0 \leq t \leq 1 \quad (19)$$

gdzie:

$$\begin{aligned} u(t) &= u_0(1-t)^2 + 2u_1t(1-t) + u_2t^2 \\ v(t) &= v_0(1-t)^2 + 2v_1t(1-t) + v_2t^2 \end{aligned}$$

W pracy [4] podano sposób wyznaczenia współczynników  $u_0, u_1, u_2, v_0, v_1, v_2$  w odniesieniu do konkretnego układu geometrycznego łuków z uwzględnieniem parametru kształtu  $m$ .

Algorytm konstruowania PH krzywych Bezier piątego stopnia w przypadku układu łuków zgodnych, w którym jeden łuk leży wewnątrz drugiego [4], różni się od algorytmu stosowanego w przypadku łuków zgodnych oddalonych od siebie [3]. W pracy [4] podano możliwość uzyskania połączenia  $G^3$  krzywej z łukiem większym lub połączenia  $G^3$  z łukiem mniejszym. W projektowaniu dróg kolejowych rozważany może być jedynie wariant połączenia  $G^3$  krzywej z łukiem większym z uwagi na fakt, iż w proponowanym połączeniu  $G^3$  krzywej z łukiem mniejszym nie jest spełniony warunek monotoniczności krzywizny.

#### 4. Analiza możliwości zastosowana

Analiza możliwości zastosowania zostanie przeprowadzona poprzez rozpatrzenie przykładowych układów geometrycznych toru kolejowego, obejmujących zadanie łączenia krzywą przejściową dwóch zgodnych łuków kołowych, z których jeden zawarty jest wewnątrz drugiego (*C-oval transition*). Wymagane jest tutaj spełnienie warunku monotoniczności krzywizny [5].

Rozważmy układ geometryczny dwóch zgodnych łuków kołowych  $\Omega_0$  i  $\Omega_1$  opisany w tabeli 1, w którym łuk  $\Omega_1$  położony jest wewnątrz łuku  $\Omega_0$ .

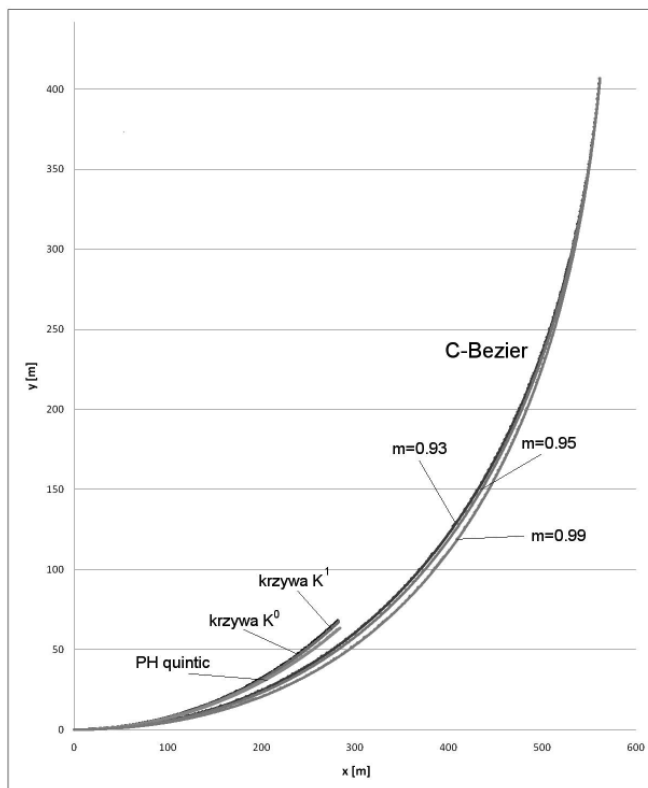
Tabela 1. Parametry geometryczne układu łuków kołowych zgodnych

Położenie środka łuku		Promień łuku $R$ [m]	
$C_0$	(0;700)	$R_0$	700
$C_1$	ustalane w toku algorytmu konstruowania krzywej	$R_1$	500

W układ opisany w tabeli 1 wpisujemy PH krzywą Bezier piątego stopnia przyjmując  $\theta = 0,2332$  w, wyniku czego otrzymujemy położenie środka  $C_1 = (58,79; 510,11)$  łuku  $\Omega_1$  oraz odległość pomiędzy środkami łuków  $r = \|C_1 - C_0\| = 198,78$  m. Algorytm konstruowania PH krzywej Bezier piątego stopnia przedstawiony w pracy [4] wykazuje się znacznie mniejszą elastycznością od algorytmu stosowanego w opracowaniu [3], dotyczącego łączenia oddalonych łuków zgodnych.

W celu porównania tej krzywej z krzywymi uzyskanymi metodą analityczną skonstruowano krzywe typu  $K^0$  i  $K^1$  o założonej długości  $l_k = 293$  m. Następnie skonstruowano rodzinę kubicznych krzywych C-Bezier dla różnych wartości parametru kształtu  $m \in \{0,93; 0,95; 0,99\}$ , zachowując położenie środków łuków  $C_0$  i  $C_1$  uzyskane w trakcie konstruowania krzywej  $K^0$ . Parametr kształtu  $m$  kubicznych krzywych C-Bezier został dobrany tak, by spełnić wymagania niezbędne do uzyskania monotoniczności krzywizny określone przez algorytm [2], który w tym przypadku okazał się dużo mniej elastyczny niż w przypadku łączenia łuków zgodnych oddalonych od siebie.

W rezultacie opisanego toku postępowania otrzymano połączenie łuków zgodnych przedstawione na rysunku 1.



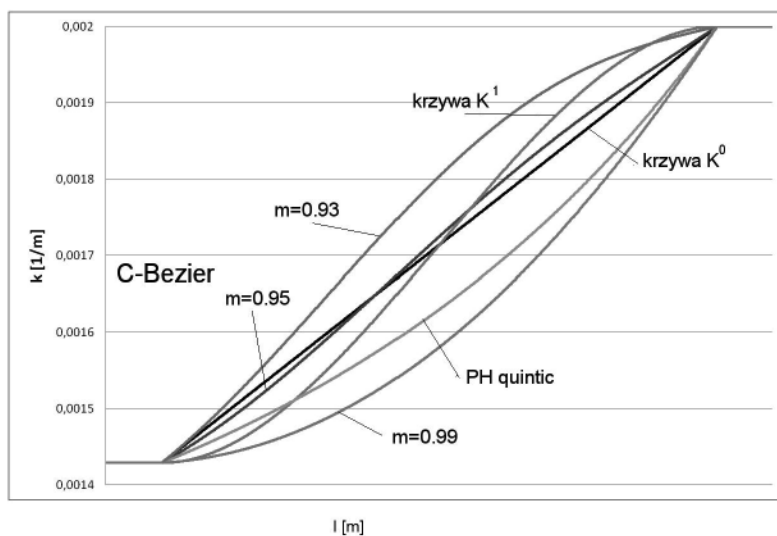
Rys. 1. Połączenie łuków zgodnych porównywanymi krzywymi przejścia

Krzywe pokazane na rysunku 1 różnią się długością, krzywizną (rys. 2), a także punktami styczności krzywej z łukiem  $\Omega_1$ . Położenie środka  $C_1$  łuku  $\Omega_1$  uległo przesunięciu jedynie w przypadku krzywej  $K^1$  oraz PH krzywej Bezier piątego stopnia. Uzyskano kubiczne krzywe C-Bezier znacznie dłuższe w stosunku do pozostałych krzywych. Nie istniało rozwiązanie o krótszej długości krzywej, zachowujące jednocześnie położenie środka  $C_1$  łuku  $\Omega_1$ .

Tabela 2. Długości, położenia środka  $C_1$  łuku  $\Omega_1$  oraz punkty styczności krzywych  $K^0$  i  $K^1$ , rodziny kubicznych krzywych C-Bezier oraz PH krzywej Bezier piątego stopnia

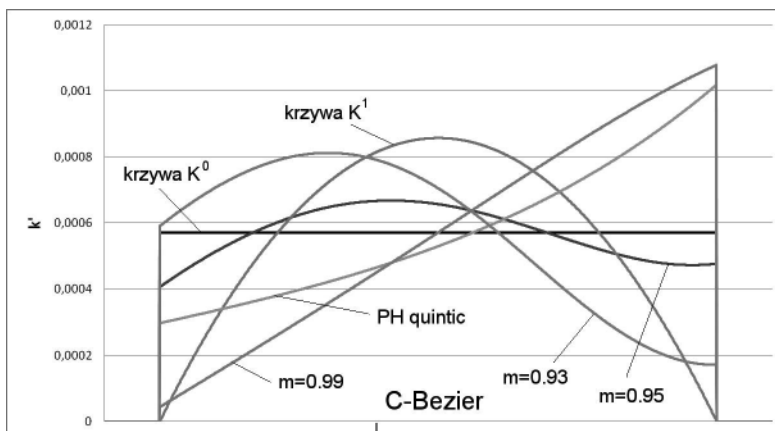
Krzywa	Krzywa $K^0$	Krzywa $K^1$	PH quintic	C-Bezier $m=0,93$	C-Bezier $m=0,95$	C-Bezier $m=0,99$
Długość krzywej $l$ [m]	293,00	293,00	293,23	734,14	736,47	741,21
Punkt styczności z łukiem $\Omega_1$	(281,81; 68,11)	(282,25; 67,36)	(283,63; 63,52)	(534,84; 394,98)	(534,84; 394,98)	(534,84; 394,98)
Położenie środka $C_1$	(41,22; 506,42)	(42,73; 506,26)	(58,79; 510,11)	(41,22; 506,42)	(41,22; 506,42)	(41,22; 506,42)

Na rysunku 2 zaprezentowano krzywizny porównywanych krzywych, na rysunku 3 pochodne krzywizny, a na rysunku 4 przyspieszenie w ruchu drgającym  $X''$ .

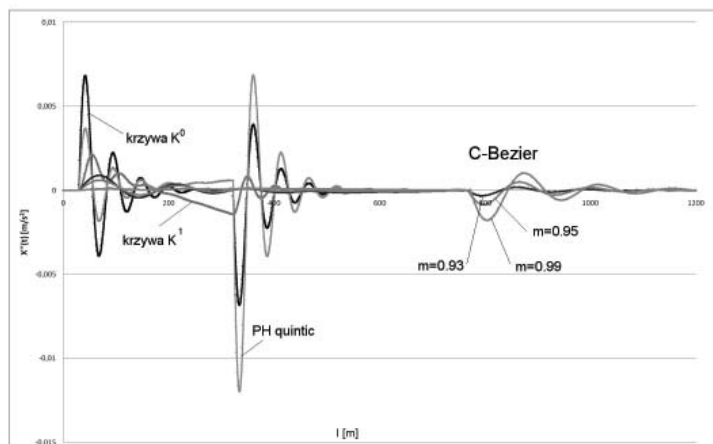


Rys. 2. Krzywizny porównywanych krzywych przejścia





Rys. 3. Pocodne krzywizny porównywanych krzywych przejścia



Rys.4. Przyspieszenie w ruchu drgającym  $X''$

Spośród krzywych o długości  $l_k = 293$  m zdecydowanie najlepsze właściwości dynamiczne ma krzywa typu  $K^1$ . PH krzywa Bezier piątego stopnia ma lepsze właściwości dynamiczne od krzywej typu  $K^0$  w początkowym rejonie, a gorsze w rejonie końcowym. Wynika to z zastosowania wariantu algorytmu konstruowania krzywej gwarantującego połączenie  $G^3$  z łukiem większym. Dobre właściwości rodziny kubicznych krzywych C-Bezier wynikają z ich znacznej długości w stosunku do pozostałych krzywych.

W celu porównania właściwości tej rodziny krzywych rozważmy układ geometryczny dwóch zgodnych łuków kołowych  $\Omega_0$  i  $\Omega_1$  opisany w tabeli 3, w którym łuk  $\Omega_1$  położony jest wewnątrz łuku  $\Omega_0$ . W algorytmie konstruowania rezygnujemy z zachowania wspólnego położenia środka  $C_1$  łuku  $\Omega_1$  dążąc do osiągnięcia zbliżonych długości wszystkich porównywanych krzywych.

Tabela 3. Parametry geometryczne układu zgodnych łuków kołowych

Położenie środka łuku		Promień łuku $R$ [m]	
$C_0$	(0;1000)	$R_0$	1000
$C_1$	ustalany w toku algorytmu konstruowania krzywej	$R_1$	500

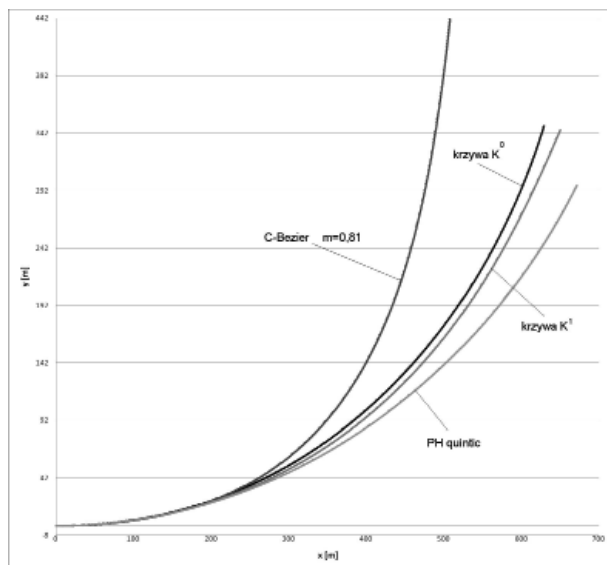
W układ opisany w tabeli 3 wpisano krzywą typu  $K^0$  o założonej długości  $l_k = 600$  m, w wyniku czego otrzymano położenie środka  $C_1 = (175,48; 557,68)$  łuku  $\Omega_1$  oraz odległość pomiędzy środkami łuków  $r = \|C_1 - C_0\| = 475,86$  m. Następnie skonstruowano krzywą typu  $K^1$  oraz krzywe Bezier: PH krzywą Bezier piątego stopnia i kubiczną krzywą C-Bezier o założonej długości  $l_k = 600$  m.

W wyniku tej operacji otrzymano połączenie łuków zgodnych przedstawione na rysunku 5. Krzywe na rysunku 5 różnią się krzywizną (rys. 6), punktami styczności krzywych z łukiem  $\Omega_1$  oraz położeniem środka  $C_1$  łuku  $\Omega_1$ . Długość otrzymanych krzywych różni się nieznacznie (tab. 4).

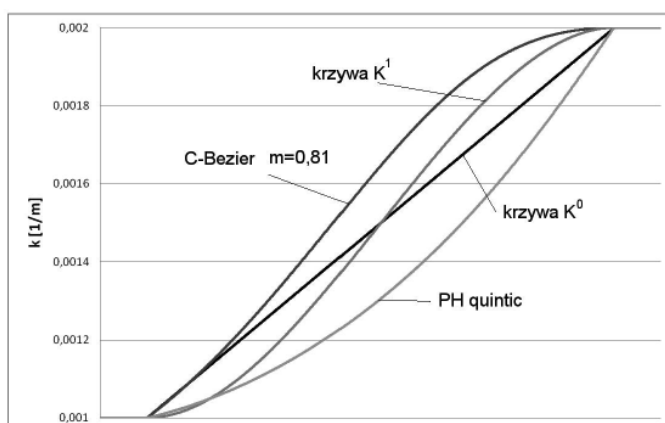
Tabela 4. Długości, położenia środka  $C_1$  łuku  $\Omega_1$  oraz punkty styczności porównywanych krzywych

Krzywa	Krzywa $K^0$	C-Bezier $m=0,81$	PH quintic	Krzywa $K^1$
Długość krzywej $l$ [m]	760	760,96	759,98	760
Punkt styczności z łukiem $\Omega_1$	(629,43; 348,01)	(508,62; 440,79)	(671,83; 296,59)	(650,19; 344,16)
Położenie środka $C_1$	(175,48; 557,68)	(15,00; 600,00)	(268,97; 592,75)	(229,21; 613,94)

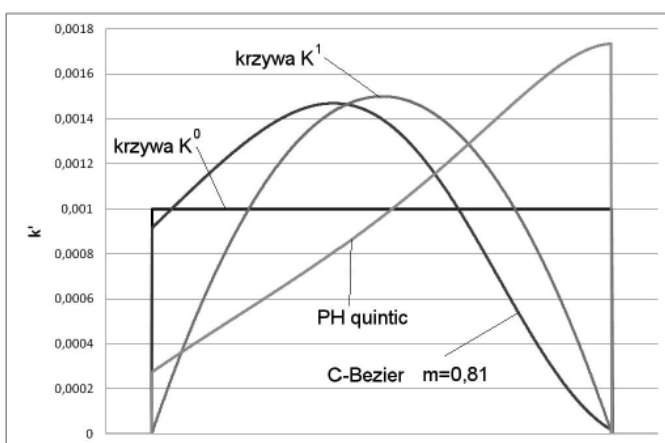
Na rysunku 6 pokazano krzywizny porównywanych krzywych, na rysunku 7 odpowiadające pochodne krzywizny, a na rysunku 8 przyspieszenie w ruchu drgającym  $X''$ .



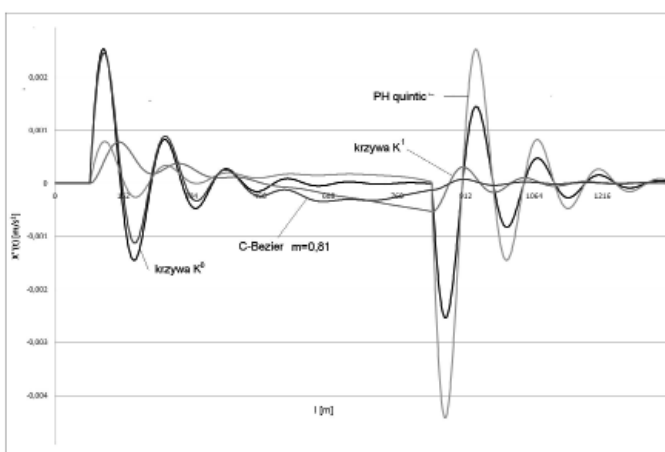
Rys. 5. Połączenie łuków zgodnych porównywanymi krzywymi przejścia



Rys. 6. Krzywizny porównywanych krzywych przejścia



Rys. 7. Pochodne krzywizny porównywanych krzywych przejścia



Rys. 8. Przyspieszenie w ruchu drgającym  $X''$

Jak widać, najkorzystniejsze właściwości dynamiczne posiada krzywa typu  $K^1$ . Kubiczna krzywa C-Bezier z parametrem kształtu  $m = 0,81$  ma lepsze właściwości dynamiczne niż krzywa  $K^0$  w końcowym rejonie i podobne w rejonie początkowym. PH krzywa Bezier piątego stopnia z uwagi na połączenie  $G^3$  z łukiem większym ma bardzo korzystne właściwości dynamiczne w początkowym rejonie i najgorsze w rejonie końcowym.

## 5. Podsumowanie

Przypadek łączenia dwóch łuków kołowych zgodnych, z których jeden zawiera się w drugim, jest przypadkiem znacznie utrudniającym konstrukcję krzywych Bezier w porównaniu z przypadkiem łuków zgodnych oddalonych od siebie. Możliwości operowania parametrem kształtu  $m$  i uzyskiwania szerokiego wachlarza krzywych są ograniczone wąskim zakresem dopuszczalnych wartości  $m$ , gwarantującym uzyskanie rozwiązania spełniającego warunek monotoniczności krzywizny.

Porównanie właściwości dynamicznych krzywych Bezier i krzywych typu  $K^0$  i  $K^1$  uzyskanych metodą analityczną w wyniku zastosowania uniwersalnej metody kształtowania krzywizny wykazało przewagę krzywych o nieliniowej krzywiznie, wśród których najkorzystniejsze właściwości posiada krzywa typu  $K^1$ . Zastosowanie połączenia  $G^3$  krzywej z łukiem o większym promieniu spowodowało znaczne pogorszenie właściwości dynamicznych PH krzywej Bezier piątego stopnia w końcowym rejonie przy połączeniu z łukiem o mniejszym promieniu.

Artykuł nie wyczerpuje tematu oceny możliwości zastosowania krzywych Bezier w dziedzinie projektowania dróg kolejowych. Pominięto bowiem wiele występujących przypadków, w tym analizę możliwości zastosowania krzywych Bezier do łączenia dwóch przecinających się prostych [1].

## Literatura

- [1] Ahmad A., Md.Ali J.,  $G^3$  transition curve between two straight lines., 5<sup>th</sup> International Conference on Computer Graphics, Imaging and Visualisation, Penang 2008.
- [2] Cai H., Wang G., A new method in highway route design: joining circular arcs by a single C-Bezier curve with shape parameter. Journal of Zhejiang University SCIENCE A 2009, 10(4).
- [3] Habib Z., Sakai M.,  $G^2$  Pythagorean hodograph quintic transition between two circles with shape control. Computer Aided Geometric Design 2007, nr 24.
- [4] Habib Z., Sakai M., On PH quantic spirals joining two circles with one circle inside the other. Computer-Aided Design 2007, nr 39.

- 
- [5] Koc W., Elementy teorii projektowania układów torowych. Wydawnictwo Politechniki Gdańskiej, Gdańsk 2004.
- [6] Koc W., Mieloszyk E., Analiza porównawcza wybranych krzywych przejściowych z wykorzystaniem modelu dynamicznego. *Archiwum Inżynierii Lądowej* 1987, t. 33, z. 2.
- [7] Koc W., Palikowska K., Ocena dynamiki wybranych sposobów łączenia elementów trasy o zróżnicowanej krzywiznie. XVI Międzynarodowa Konferencja Naukowa „Komputerowe Systemy Wspomagania Nauki, Przemysłu i Transportu – TransComp“, Zakopane 2012.
- [8] Korn G.A., Korn T.M., *Matematyka dla pracowników naukowych i inżynierów*. Warszawa, PWN 1983.
- [9] Mieloszyk E., Koc W., General dynamic method for determining transition curve equations. *Rail International - Schienen der Welt* 1991, nr 10.
- [10] Palikowska K., Projektowanie układów geometrycznych toru kolejowego z zastosowaniem programowania ewolucyjnego. *Rozprawa doktorska*, Politechnika Gdańska 2002.

